

بررسی رفتار ستونهای فولادی پر شده با بتن CFST

طالب مرادی شقاقی

دانش آموخته دکترای سازه واحد علوم و تحقیقات دانشگاه آزاد اسلامی

فریبرز ناطقی الهی

استاد پژوهشگاه بین المللی زلزله شناسی و مهندسی زلزله

چکیده

ستونهای فولادی پر شده با بتن CFST نوعی از ستونهای مرکب می باشند، که بدليل مزایای فراوانی که نسبت به ستونهای بتن آرمه و فولادی دارند استفاده از آنها مخصوصاً در ساختمانهای بلند در سالهای اخیر رواج زیادی پیدا کرده است . از جمله این مزایا میتوان به سادگی نصب و اجرا، مسائل اقتصادی، حذف هزینه های قالب بندی، عملکرد خوب در مقابل نیرو های لرزه ای، مقاومت بیشتر با حجم کمتر و پذیری بالا اشاره نمود. در این تحقیق رفتار ستونهای CFST و اثر ورقهای سخت کننده که در نواحی بحرانی (محل تنش های حداکثر) در داخل ستون به جدار فولادی جوش می شوند، بصورت تحلیلی و آزمایشگاهی مورد بررسی قرار می گیرد. در این بررسیها ۶ نمونه ستون با مقیاس حدود ۱/۳ در نظر گرفته شده و با استفاده از نرم افزار ANSYS تحلیل شده است. همچنین نمونه های مورد نظر در آزمایشگاه سازه پژوهشگاه بین المللی زلزله شناسی مورد آزمایش قرار گرفته اند. تعدادی از نمونه ها بدون ورقهای سخت کننده بوده و در تعدادی ورقهای سخت کننده در ناحیه بحرانی ستون قرار داده شده است. نمونه ها در تحلیل و آزمایشات تحت بار محوری فشاری برابر با $P_u = 0.2$ توان با بار جانبی متناوب افزایش یابنده تا انهدام کامل ستون قرار می گیرند و منحنی های رفتاری نمونه ها ترسیم شده و مورد بررسی قرار می گیرند. از لحاظ شکل مقطع عرضی ، سه شکل دایره، مربع و هشت ضلعی در نظر گرفته شده است.

واژه های کلیدی:

ستونهای فولادی پر شده با بتن، جدار فولادی، ورقهای سخت کننده، شکل پذیری

مقدمه - ۱



شکل ۲ - تصویر تعدادی از نمونه های آزمایش

ب- مشخصات بتن مصرفی در نمونه ها

با توجه به اینکه نمونه های مورد آزمایش کوچکتر از مقادیر واقعی و با مقیاس حدود $1/3$ می باشند. لذا مواد نمونه های ستون با مواد ستون های واقعی مقداری فرق خواهد داشت. دانه بندی مواد دانه ای در نمونه ها با دانه بندی مواد دانه ای در مقیاس واقعی ستون ها متفاوت خواهد بود.

در نمونه های مورد آزمایش با توجه به E_c و f'_c استفاده از منحنیهای موجود در فصل ۲.۸ [۱۳] مرجع [۱۳]، نسبت وزنی مواد تشکیل دهنده بتن بصورت $4:7:0$ (W/C, C, Agg) بدست می آید.

دانه هابایستی ازالک نمره ۶ عبور کنند و مقدار عبور از الک نمره ۱۰۰ حداقل ۱۰ درصد باشد. آزمونه های بتن در قالب های استوانه ای و مکعبی در حین بتن ریزی نمونه ها، برداشته شده و در روز آزمایش (در سن ۲۸ روزه) مورد آزمایش قرار گرفته اند، که مشخصات آنها در جدول (۲) آورده شده است [۱۳].

۴- مشخصات نمونه ها

نمونه های ستون CFST شامل ۶ نمونه بوده که شکل مقاطع نمونه هادایره(C)، مربع(S) و هشت ضلعی(O) انتخاب شده اند.

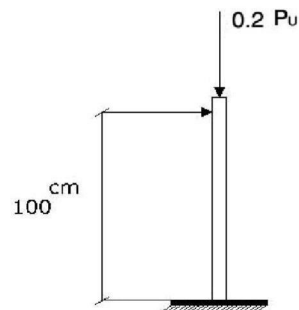
نمونه هایی که حرف سوم و چهارم آنها SN می باشند دارای ورقه های سخت کننده در ناحیه بحرانی (پاسین ستون) هستند. مشخصات نمونه ها در جدول (۳) و شکل مقطع عرضی نمونه ها در شکل های (۳) و (۴) آورده شده است.

جهت بررسی رفتار ستون های CFST، ۶ نمونه ستون با مقیاس حدود ۱/۳ ساخته شده و در آزمایشگاه سازه تحت نیروی فشاری توان با نیروی جانبی متناوب افزایش یابنده مورد آزمایش قرار گرفتند. همین نمونه ها با استفاده از نرم افزار ANSYS مدل شده و تحت بارهای محوری توان با بارهای جانبی متناوب تحلیل شده اند. از ۶ نمونه ستون، نمونه می باشدند (در ۳۰° سانتیمتر پائین ستون).

در آزمایشات از Actuator با ظرفیت یانصد کیلو نیوتونی برای اعمال بار محوری و از Actuator دویست و پنجاه کیلو نیوتونی برای وارد کردن بار جانبی در انتهای ستون بصورت اعمال تغیر مکان جانبی استفاده گردید.

۲- مدل نمونه ها

مدل نمونه های تحت بار محوری توان با بار جانبی بصورت شکل (۱) می باشد. این نمونه ها بصورت یکسر گیردار مدل شده و در انتهای آزاد تحت بار محوری تاحدود $0.2P_{ult}$ و تحت بار جانبی افزایش یابنده (Displacement control) بصورت اعمال تغییر مکان جانبی (Displacement control) رفت و بصورت و برگشتی قرار گرفتند. تصویر تعدادی از نمونه ها در شکل (۲) نشان داده است.

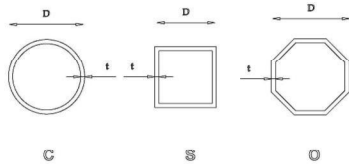


شکل ۱- مدل نمونه های

۳- مشخصات مصالح نمونه ها

الف-مشخصات فولادجداره نمونه ها

فولادهای مورد استفاده در ساخت جداره نمونه ها تحت کشش
مورد آزمایش قرار گرفتند. مشخصات فولادها طبق تابیغ
آزمایشات در حدوای (۱) آورده شده است.



شکل ۳- مقاطع عرضی نمونه های بدون ورق های سخت کننده

جدول ۱- مشخصات فولاد جداره نمونه ها

نمونه	$F_y(MPa)$	$F_u(MPa)$	(%) ϵ_y	(%) ϵ_u
فولاد نمونه های با مقطع هشت ضلعی (O)	۳۰۷	۴۲۴	۴	۲۴
فولاد نمونه های با مقطع مدور (C)	۳۳۳	۴۲۸	۷	۲۳
فولاد نمونه های با مقطع مربعی (S)	۴۰۱.۶	۴۴۵.۶	۱	۱۰

جدول ۲- مشخصات بتن نمونه ها

نمونه ها	وزن مخصوص (KN / m^3)	$F'_c (MPa)$
مکعبی ۱	۲۲.۵۷	۳۰.۸
مکعبی ۲	۲۲.۷۴	۲۷.۲
استوانه ای ۱	۲۲.۴۴	۳۰.۴
استوانه ای ۲	۲۱.۸۵	۲۶.۹

جدول ۳- مشخصات نمونه های CFST

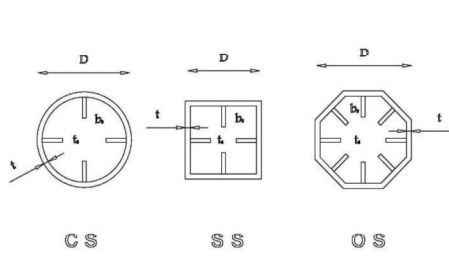
نمونه	$D - B (mm)$	$t (mm)$	$\frac{D}{T}$	$\frac{B}{T}$	$\frac{L}{D}$	Bs/t_s	$As (mm^2)$	$Ac (mm^2)$	$F_y (MPa)$	$f'_c (MPa)$	$P_u (kn)$	ACI
C ^۳	۱۶۰-۱۶۰	۴	۴۰	-	۶.۷۵	-	۱۹۵۹.۳	۱۸۱۳۶.۶	۳۳۰	۲۸	۸۲۵.۲	
S ^۳	۱۳۸-۱۳۸	۴	۳۴.۵	-	۷.۸۲	-	۲۰۸۰	۱۶۹۰	۴۰۰	۲۸	۸۳۵.۶	
O ^۳	۲۰۱-۸۰	۴	۵۰.۵	۲۰	۵.۳۲	-	۲۵۶۰	۳۰۴۰.۲	۳۰۰	۲۸	۱۲۱۰.۹	
C ^۴ N	۱۶۶-۴۱.۵	۴	۴۱.۵	۱۰.۴	۶.۵	۴۰.۳	۱۴۴۰.۲	۱۹۵۹۶.۷	۳۳۰	۲۵	۸۴۸.۷	
O ^۴ SN	۲۱۲-۵۳.۲	۴	۵۳.۲	۱۳.۳	۵.۰۷	۴۰.۳	۲۵۶۰	۳۰۴۰.۳	۳۰۰	۲۵	۱۲۱۰.۹	
S ^۴ SN	۱۳۰-۶۵	۴	۳۲.۵	۱۶.۲۵	۸.۳	۴۰.۳	۲۰۸۰	۱۶۹۰	۴۰۰	۲۵	۸۳۵.۶	

ستون نشان می دهد، در این شکل y_0 گذاشت تغییر مکان جانبی ایجاد شده و δ_{yo} تغییر مکان جانبی نقطه تسلیم را نشان می دهد.

شکل (۶) دستگاه آزمایش و نحوه اعمال بارها را نشان می دهد، شکل (۷) تصویر یک نمونه ستون را در حین آزمایش نشان می دهد.

۵- دستگاه آزمایش و نحوه اعمال بارها

نمونه ها بصورت یکسر گیردار در قاب صلب آزمایشگاه مستقر شده و توسط دستگاههای محرک نیرو مورد آزمایش قرار گرفتند، شکل (۵) منحنی اعمال بار جانبی را بصورت ایجاد تغییر مکان جانبی در انتهای



شکل ۴- مقاطع عرضی نمونه های با ورق های سخت کننده

۶- آزمایشات و منحنی های چرخه ای نمونه ها

نمونه های ستون CFST تحت نیروی فشاری محوری و بار جانبی رفت و برگشتی در انتهای نمونه تا حد گسیختگی مورد آزمایش قرار گرفتند.

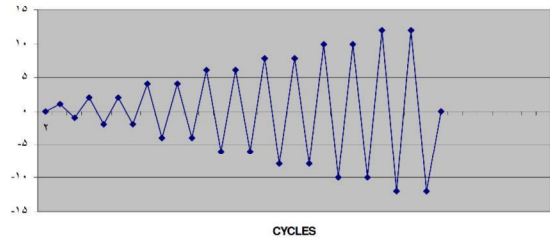
در جدول شماره(۴) تغییر مکانهای جانبی نمونه ها در تحلیل و آزمایشات و نتایج آزمایشات نمونه ها ارایه شده است، در این جدول δ_{yo} تغییر مکان انتهای نمونه در شروع تسلیم و $\delta_{y_{max}}$ تغییر مکان جانبی انتهای نمونه در شروع افت مقاومت و μ حداکثر تغییر مکان جانبی انتهای نمونه در شروع گسیختگی و E_{cu} ضریب شکل پذیری انتقالی و drift نسبت حداکثر تغییر مکان جانبی انتهای نمونه در شروع گسیختگی به طول نمونه و P_u حداکثر کرنش وارد شده به بتن بافرض تغییرات خطی کرنش در مقطع و P_u طرفیت فشاری نهایی ستون می باشد.

در شکل(۸) منحنی های چرخه ای نمونه های بدون ورقهای سخت کننده و در شکل(۹) منحنی های چرخه ای نمونه های با ورقهای سخت کننده در ناحیه بحرانی ستون نشان داده شده است.

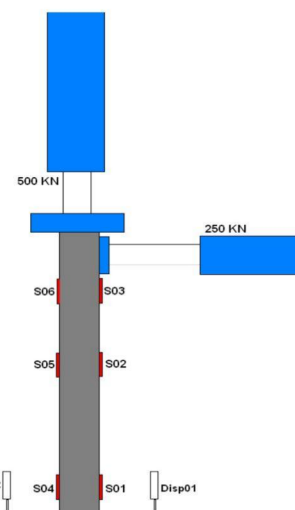
جهت اعمال بار جانبی به انتهای ستون دو ورق به ضخامت ۳۰ میلیمتر در دو طرف ستون در نظر گرفته شده که توسط چهار میل مهار بیمه دیگر متصل می شوند. این ورقها توسط پین به افقی متصل شده و با اعمال تغییر مکان افقی بصورت متساوب و افزایش یابنده بار جانبی به انتهای نمونه وارد می شود.

جهت اعمال بار محوری از یک صفحه فلزی به ضخامت ۵۰ میلیمتر در انتهای ستون استفاده گردید که توسط پین به قائم متصل می گردد.[۱۰].

ورقهای در نظر گرفته شده برای اعمال بارهای افقی و قائم در مدل ANSYS نیز در نظر گرفته شده اند.



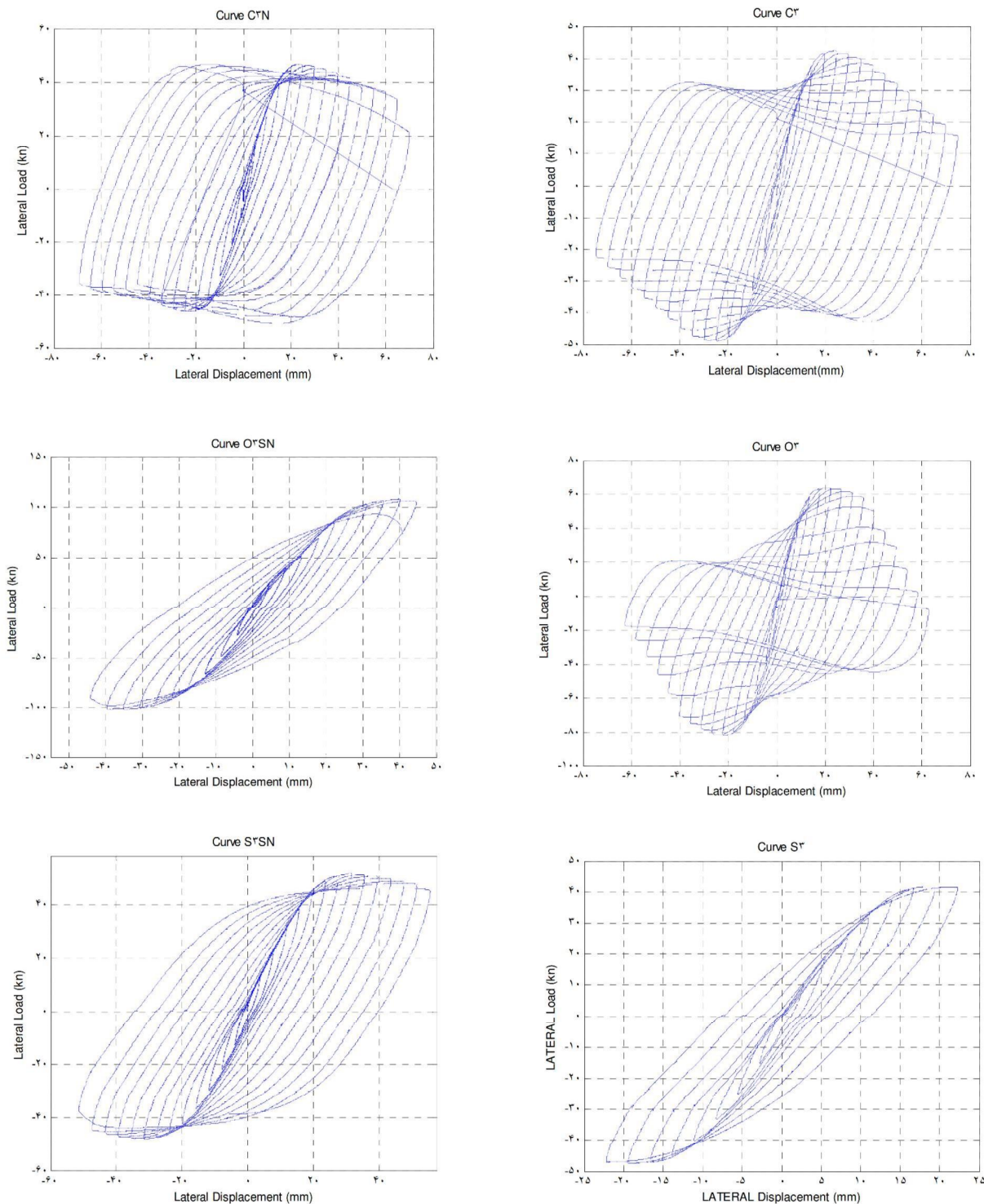
شکل ۵- منحنی اعمال تغییر مکان در انتهای ستون



شکل ۶- دستگاه آزمایش و نحوه اعمال بارها



شکل ۷- نمونه ستون CFST تحت آزمایش



شکل ۹- منحنیهای چرخه ای نمونه های با ورقهای سخت کننده

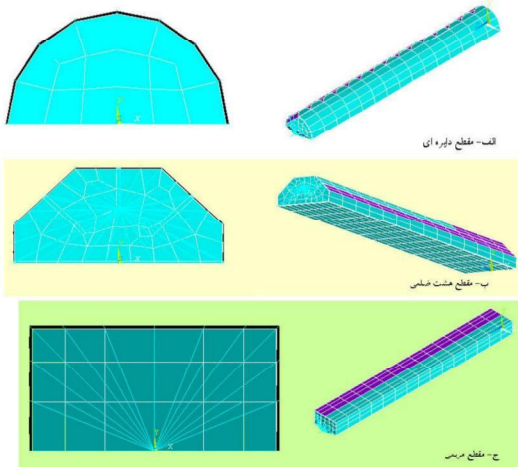
شکل ۸- منحنیهای چرخه ای نمونه های بدون ورقهای سخت کننده

جدول ۴- تغییرمکانهای جانبی نمونه هادر تحلیل و آزمایشات و نتایج آزمایشات نمونه ها

نمونه ها	$0.2P_u$ (KN)	δ_{Y_1} (mm)	$\delta_{Y_1}(mm)$	$\delta_{Y_{max}}$ (mm)	$\mu(\delta_{Y_1}/\delta_Y)$ آزمایش	drift	NO.cyclic آزمایشات	ϵ_{cu}
C³	۱۷۰	۵	۶۰	۷۵	۱۲	۰/۰۶۹	۱۵	۰/۰۲۲
S³	۱۶۰	۴	۴۴	۶۴	۱۱	۰/۰۵۹	۱۴	۰/۰۲۱
O³	۲۴۰	۴/۵	۴۰/۵	/۵ ۶۷	۹	۰/۰۶۲	۱۵	۰/۰۱۹
C³N	۲۰۰	۵	۶۰	۷۵	۱۳	۰/۰۶۹۴	۱۵	۰/۰۲۲
O³SN	۲۴۰	۴/۵	۴۹/۵	۵۴	۱۱	۰/۰۰	۱۲	۰/۰۲۱
S³SN	۱۶۰	۴	۵۲	۶۰	۱۳	۰/۰۵۵۰	۱۵	۰/۰۲

از المان 45 SOLID برای مدل کردن صفحات سخت کننده استفاده شده است. این المان، با هشت گره و سه درجه آزادی در هر گره تعریف می شود و دارای قابلیت های اعمال تغییر شکل های پلاستیک، خروش، تورم، سخت شدگی تنش، تغییر شکل ها و کرنش های بزرگ می باشد [۱۵].

در انتهای آزاد و مرکز مقطع نمونه از المان 188 Beam استفاده شده است، تا بارگذاری از طریق این المان به نمونه وارد شود و بتوان نتایج تحلیل را برای گره المان مذکور بدست آورد. برای اینکه در بارگذاری قائم، بار به کل صفحه بالای ستون پخش گردد، بین گره وسط المان 188 و تمام گره های موجود در صفحه بالای نمونه، از همان المان 188 Beam استفاده شده است. شکل (۱۰) مدل نمونه ها را در ANSYS نشان می دهد. در مدل نمونه ها جهت صرفه جوئی در مدت زمان تحلیل از تقارن حول یک محور استفاده شده است.



شکل ۱۰- نمونه هایی از مدل ستونهای CFST در ANSYS

۷- تحلیل و منحنیهای چرخه ای نمونه ها

برای تحلیل نمونه ها از نرم افزار ANSYS استفاده شده است و نمونه ها تحت بار فشار محوری به مقدار $0.2P_u$ و بار جانبی متناوب افزایش یابنده تا انهدام نمونه ها تحلیل گردید.

۸- المانهای استفاده شده در مدل نمونه ها

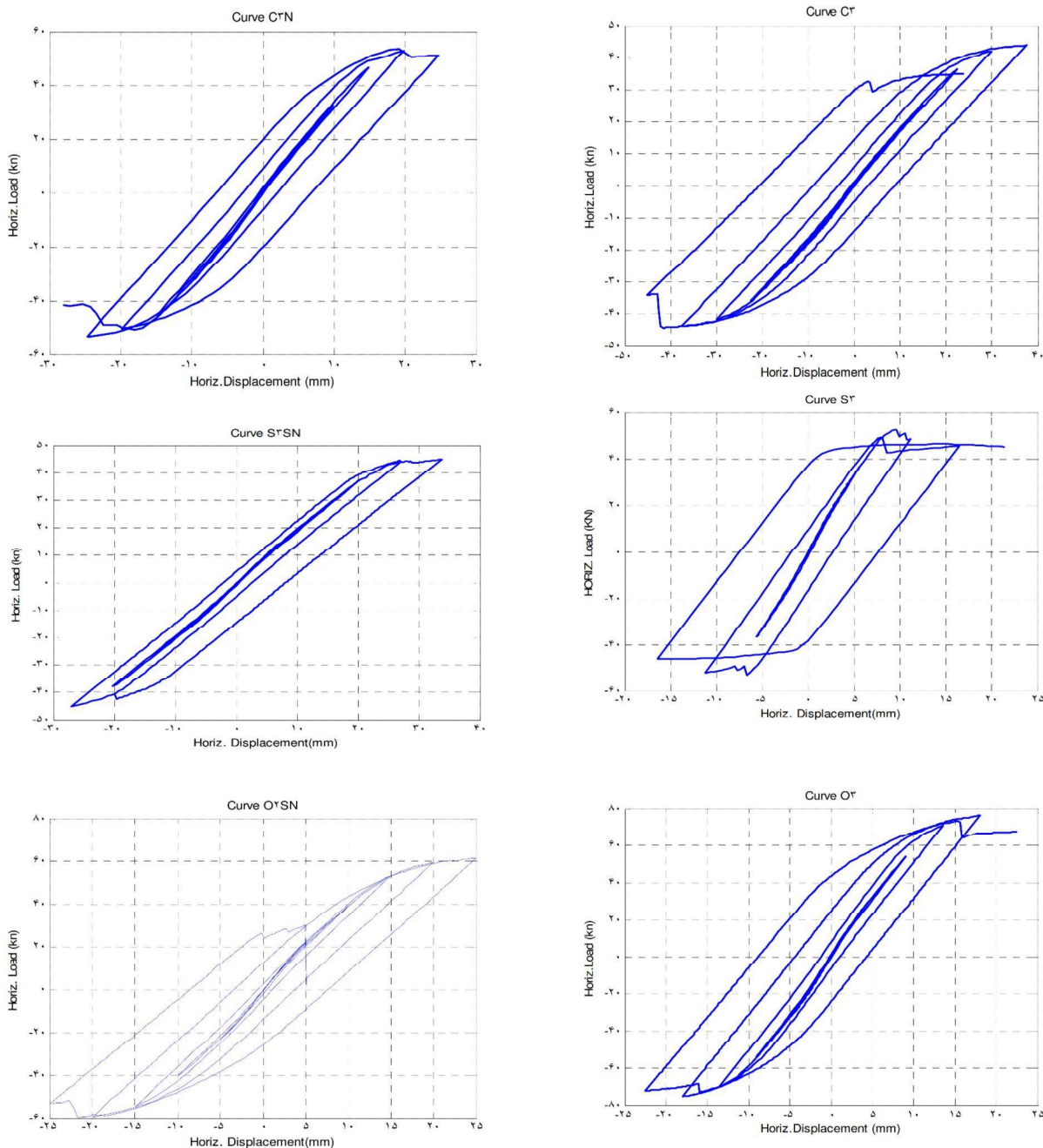
از المان سه بعدی ایزوپارامتریک 65 SOLID برای مدل کردن بتن هسته استفاده شده است. این المان توسط یک شش وجهی، هشت گرهی با سه درجه آزادی انتقالی در هر گره تعریف می شود. مصالح اعمالی از جنس بتن با قابلیت ترک در تنش های کششی و شکست یا خردشگی در تنش های فشاری در سه جهت متعدد و نیز تغییر شکل های پلاستیک و خروش می باشد [۱۵].

از المان 43 SHELL برای مدل کردن جدار فولادی نمونه ها استفاده شده است. این المان دارای چهار گره با شش درجه آزادی در هر گره (سه درجه آزادی انتقالی و سه درجه آزادی دورانی) می باشد. این المان از توانایی مناسبی برای مدل کردن اعوجاج و کمانش موضعی برخوردار است. همچنین دارای قابلیت های اعمال تغییر شکل های پلاستیک، خروش، سخت شدگی تنش و تغییر شکل ها و کرنش های بزرگ می باشد.

برای مدل کردن تماس بین بتن و جدار فولادی از المان اصطکاکی گرمه به گرمه CONTACT52 استفاده شده است. این المان میان دو گرمه مجاور جدار فولادی و هسته بتنی قرار داده و قادر است جدایش و لغزش یا تماس بین دو گرمه را در طول بارگذاری مدل نماید. این المان فقط قادر است فشار در جهت امتداد نرمال و برش را در جهت مماسی سطوح انتقال دهد.

۲- منحنیهای چرخه ای نمونه ها حاصل از تحلیل

منحنیهای چرخه ای نمونه ها که با استفاده از نتایج تحلیل ترسیم شده اند در شکلها (۱۱) و (۱۲) نشان داده شده است.



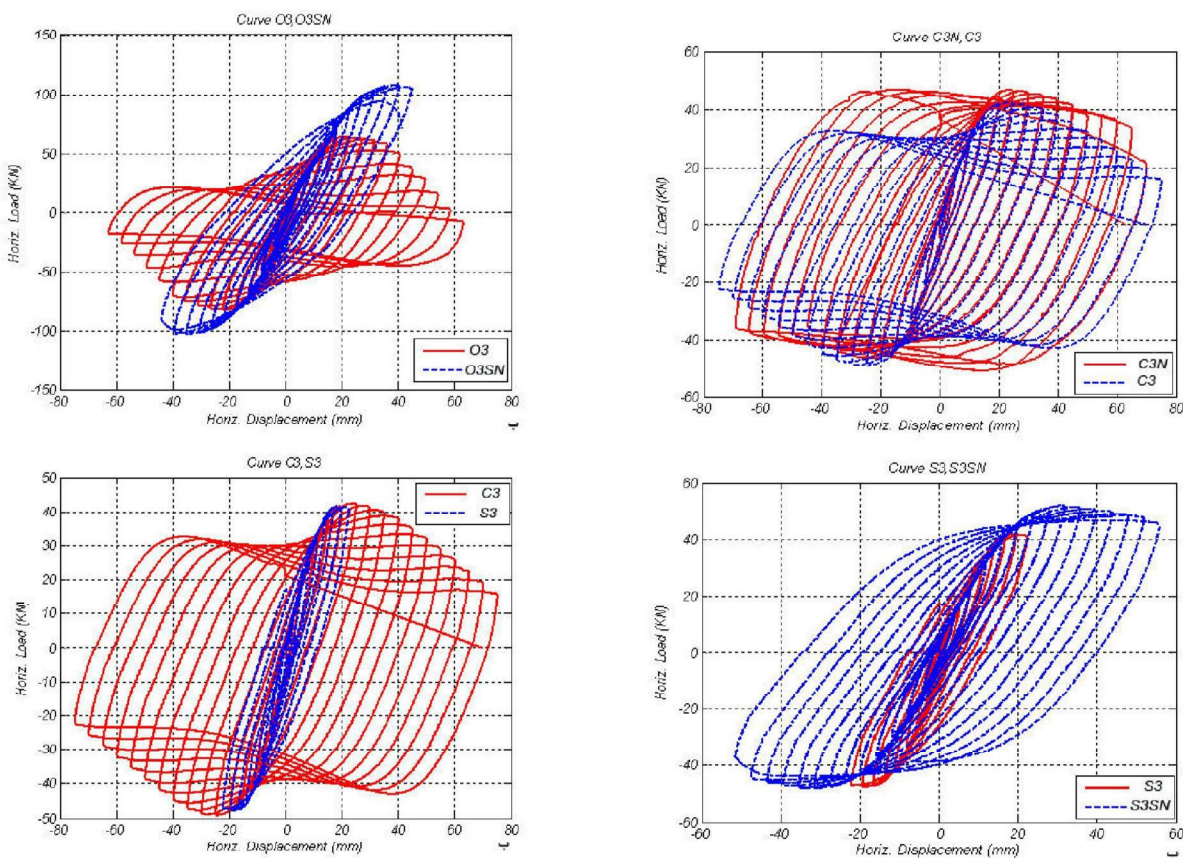
شکل ۱۲- منحنیهای چرخه ای نمونه های با ورقهای سخت کننده

شکل ۱۱- منحنیهای چرخه ای نمونه های بدون ورقهای سخت کننده

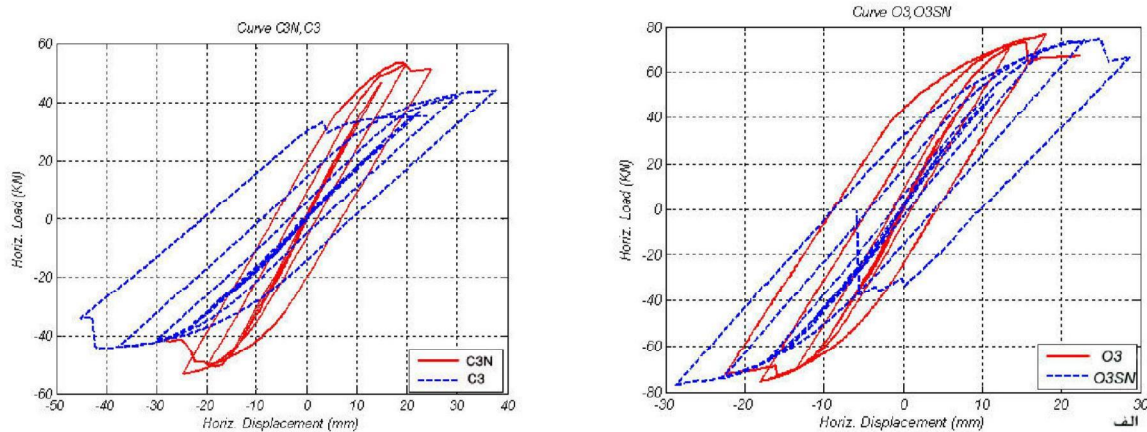
۸- مقایسه منحنیهای چرخه ای

۸-۱- مقایسه منحنیهای چرخه ای نمونه ها حاصل از نتایج آزمایشات و تحلیل

منحنی های چرخه ای نمونه های بدون ورقهای سخت کننده و نمونه های با ورقهای سخت کننده در ناحیه بحرانی ستون در شکلهای (۱۳) و (۱۴) با یکدیگر مقایسه شده اند. تا اثر ورقهای سخت کننده و همچنین اثر شکل مقطع عرضی درفتارستونهای CFST بررسی گردد. با مقایسه منحنیها نتیجه می شود که شکل پذیری ستونهای با مقطع دایره بیشتر از مقطع هشت ضلعی و ستونهای با مقطع هشت ضلعی شکل پذیرتر از مقطع مربعی است. وجود ورقهای سخت کننده در داخل ستونهای CFST باعث افزایش شکل پذیری و باعث به تعویق افتادن کمانش موضعی جدار فولادی می شود.



شکل ۱۳- مقایسه منحنیهای چرخه ای نمونه های حاصل از آزمایشات



شکل ۱۴- مقایسه منحنیهای چرخه ای نمونه ها حاصل از نتایج تحلیل

قابل توجه مقاومت بهتر از رفتار مقطع هشت ضلعی و رفتار مقطع هشت ضلعی بهتر از رفتار مقطع مربعی است.

در استفاده از مقاطع هشت ضلعی، جهت کاهش B/t در محل اتصالات و نواحی بحرانی توصیه می گردد از ورقهای سخت کننده استفاده شود.

۴- در مراحل اول بارگذاری نسبت پواسون فولاد بیشتر از بتن است و در بارهای نزدیک به بار نهائی نسبت پواسون فولاد کمتر از بتن بوده و فولاد بصورت دورگیر بتن را در بر گرفته و موجب افزایش مقاومت فشاری بتن می شود. این افزایش مقاومت با افزایش نسبت طول به قطر یا بعد مقطع (L/D) و نیز افزایش ضریب فشردگی مقطع (B/t , D/t) کاهش می یابد.

۵- پرکردن مقاطع قوطی و توخالی با بتن از کمانش موضعی به طرف داخل جداره فولادی جلوگیری نموده و در نتیجه کمانش موضعی جداره فولادی را به تعویق می اندازد.

۶- با توجه به نتایج نمونه ها در تحلیل و آزمایش، پیشنهاد می گردد در نواحی بحرانی ستون در حوالی اتصالات تیر-ستون و اتصال ستون به فونداسیون در طول L از ورقهای سخت کننده در داخل نمونه با جوش سرتاسری استفاده شود. طول L با روابط زیر محاسبه می گردد.

$$L^* = \text{Max} (L_n / 6 , D , 450 \text{ mm})$$

L_n ارتفاع خالص ستون می باشد.

۷- جهت جلوگیری از کمانش کلی ستون پیشنهاد می گردد، مقدار $10 \leq L/D \leq 10$ رعایت شود در واقع $L/D=10$ مرز بین ستون CFST کوتاه و لاغر پیشنهاد می شود.

۸- حداکثر کرنش وارد شده به بتن در شروع شکست حدود 0.027 و حداکثر کرنش بتن در شروع کمانش موضعی جدار فولادی 0.0092 می باشد (متوسط نمونه ها).

۹- نتیجه گیری

۱- تعداد چرخه های بارگذاری جانبی متتحمل شده توسط نمونه ها به مراتب بیشتر از ستونهای بتی معمولی است. این مورد در اثر محصوریت هسته بتن توسط جدار فولادی است و باعث افزایش قابل توجه در شکل پذیری و جذب انرژی می گردد، که در سازه های مقاوم در برابر زلزله حائز اهمیت فراوانی است.

۲- در نمونه های با ورقهای سخت کننده به طول 30 سانتی متر پائین ستون (جائی که مصالح ستون تحت تنش های ناشی از فشار و خمش حداکثر قرار دارند)، ورقهای سخت کننده نقش مهم و قابل توجهی در افزایش چرخه های بارگذاری قابل تحمل توسط ستون و افزایش شکل پذیری ستون و افزایش جذب انرژی دارند.

تمام نمونه های تحت فشار تقام با بار جانبی چرخه ای در اثر کمانش موضعی جدار فولادی و پکیده شدن بتن در محل کمانش موضعی به شکست رسیده اند، وجود ورقهای سخت کننده در نواحی بحرانی ستون مقدار B/t یا D/t (نسبت عرض به ضخامت جدار فولادی یا ضریب فشردگی مقطع) را کاهش داده و کمانش موضعی را به تعویق می اندازد، با توجه به D/t و B/t نمونه های مختلف و تعداد چرخه های قابل تحمل توسط نمونه ها در شروع کمانش موضعی پیشنهاد می گردد. D/t برای مقاطع دایره ای بدون ورقهای سخت کننده حداکثر به 32 و مقدار B/t برای مقاطع هشت ضلعی و مربعی حداکثر به 25 محدود گردد.

۳- در تحلیل با نرم افزار ANSYS و آزمایشات از سه نوع مقطع عرضی دایره، هشت ضلعی، و مربع استفاده شده است، مقایسه نتایج این سه نوع مقطع نشان می دهد، رفتار مقطع دایره از لحاظ شکل پذیری و ظرفیت جذب انرژی و تعداد سیکلهای قابل تحمل تا افت

- ۹- Popovics S. " A Numerical Approach To The Complete Stress – strain Curves For Concrete . " Cement Concrete Res 1973 , 3(s): 583 – 99 .
- ۱۰- Mander JB. , priestly JN. , park R. " Theoretical Stress – Strain Model For Confined Concrete . " J. struct . Eng . ASCE 1988 , 114 (8) : 1804–26
- ۱۱- Ahmad , S. H. and Shah , s.p. (1987) , " Structural Properties of High Strength Concrete And Its Implications For Precast Concrete " , PCI J
- ۱۲- K.A.S. Susantha , Hanbin Ge , Tsutomu Usami . " Uniaxial Stress – Strain relationship of concrete confined by various shaped steel tubes " . Enginer struct 23(2001) 1331–1347 .
- ۱۳- Harry G.Harris Gajanan M.sabnis. " structural Modeling and Experimental Techniques
- ۱۴- صادق رضا فخری ، بررسی تحلیلی و تجربی رفتار ستون های فلزی پر شده با بتن و اتصالات مربوطه دانشکده فنی دانشگاه تهران ۱۳۷۵
- ۱۵- فردوسی ، عادل ، ۱۳۸۱، بررسی رفتار یک مقطع جدید از ستونهای فولادی پر شده با بتن دانشگاه صنعتی سپهند

۹- در اثر اندر کنش بین بتن و جدار فولادی مقاومت بتن برای مقاطع دایره ای حدود ۲۵ درصد و برای مقاطع هشت ضلعی حدود ۲۲ درصد و برای مقاطع مربعی حدود ۱۶ درصد (متوسط نمونه ها) افزایش می یابد.

۱۰- در اثر اندر کنش بین بتن و جدار فولادی و در اثر تنش های حلقوی وارد شده به فولاد، مقاومت تسليیم فولاد حدود ۸ درصد کاهش می یابد.

۱۱- درستونهای CFST پدیده pinching در منحنیهای چرخه ای در مقایسه با ستونهای بتن مسلح بسیار کمتر است. در تعدادی از نمونه ها با ورقهای سخت کننده در نواحی بحرانی پدیده pinching مشاهده نمی شود.

۱۲- با کاهش مقدار D/t در نمونه ها مشاهده می شود پدیده pinching در منحنیهای چرخه ای به مقدار قابل توجهی کاهش می یابد.

۱۰- مراجع

- ۱- Johansson , M.and Gylltoft , k.(2001) , "structural behavior of slender circular steel – concrete composite columns under various means of load application "
- ۲- Chao , M. and Zhang , J.Q. (1999) , " Accuracy of Numerical Expressions for the Section Analysis of CFST Beam – columns " proceeding of EASEC – 7 , August , Japan , PP967– 972
- ۳- M.Shams , M.A. Saadegh vaziri . " State of the Art concrete Filled steel Tubular columns . " ACI Struct . Journal / sept – oct . 1997 .
- ۴- K.A.S. Susantha , Hanbin Ge , Tsutomu Usami , (2001) , " Uniaxial stress – strain relationship of concrete confined by various shaped steel Tube " , Engineering Structures Journal
- ۵- G. Compione , N. Scibilia , G. Zingone . " Strength and Ductility of Hollow circular steel columns filled With Fiber Reinforced concrete" Dipartimento di Ing . struct . Universita di palermo , I – 90128 , ITALY .
- ۶- B. Uy ." Strength of concrete Fillad steel Box Columns Incorporating Local Buckling . " J. struct . Engineering . ASCE / March 2000
- ۷- Y.C. Wang . " Tests on slender composite columns " J . constr. steel Res . 49(1999)25–41
- ۸- Martin D . O`Shea , Russel Q. Bridge . " Design of Circular thin – walled Concrete Filled Steel Tube Columns . " J. struct . Engineering . ASCE / November 2000

Research Behavior Of Concrete Filled Steel Tube Columns, CFST

Taleb Moradi Shaghaghi

"Ph.D Student, Science & Research Branch, Islamic Azad University(IAU)"

Fariborz Nateghi A.

Professor, International Institute of Earthquake Engineering and Seismology

Abstract:

Concrete filled steel tube columns (CFST) are a kind of composite columns according to advantages of CFST relative to reinforced concrete and steel columns. Use of these materials is common in recent years especially in high building , unnecessary of molding , high ductility, proportionate resistance with low volume , economical, low deformation relative to steel columns are among advantages.

In this research, effective parameters on CFST columns behavior are investigated experimentally and analytically.

For these researches, six specimens of CFST columns with three to one scale are considered. In analytically investigation it is used finite elements method and ANSYS10 soft ware, also steel tube and concrete, and stiffeners are modeled with finite elements. For consideration bond strength between steel and concrete it is used contact elements. Investigated specimens (experimentally and analytically) are molded as a cantilever.

Specimens loaded axially with enhancing cyclic lateral load. The enhancing lateral load is using with cyclic lateral displacement in end column. (Displacement control)

In this research three sets of columns with shape, square, circle and octagonal sections took into account some of them are without stiffeners and some are with stiffeners at whole length or in 30 cm of lower part of the specimens are considered, that effects of column section shape and effects of stiffeners in column behavior are investigated.

Keywords:

Concrete filled steel tube columns, Steel tube, Stiffeners, Ductility